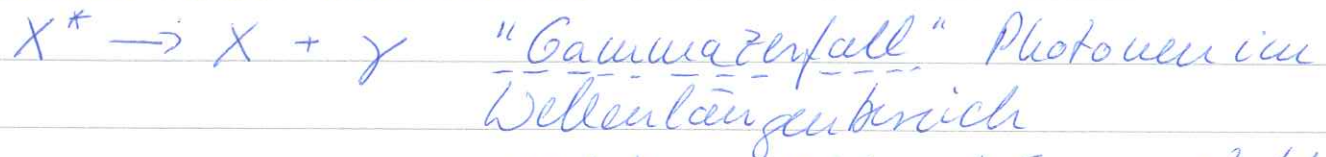


2. Werkzeuge der Kern- und Teilchenphysik

2.1. Zerfallsgech

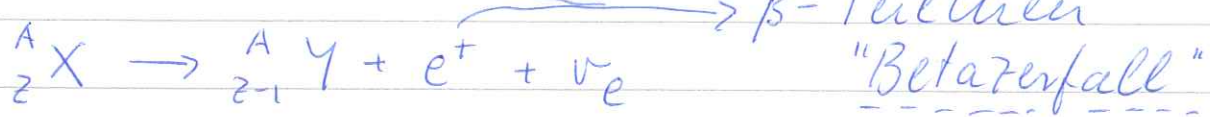
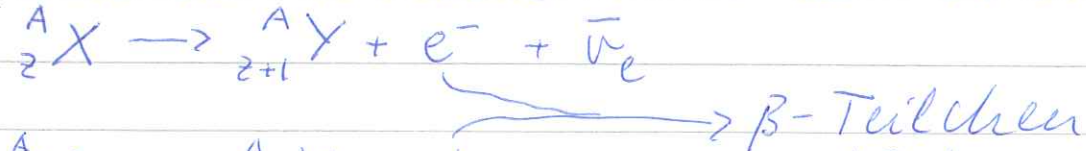
Zerfall, wenn Zustand X energetisch in der Lage ist, Übergang nach Zustand Y zu machen
verschiedene Arten von Zerfällen

- angeregtes Atom zerfällt auch Emission von Licht in Grundzustand $A^* \rightarrow A + \text{Photon}$ \hookrightarrow eV-Bereich
- ebenso im Atomkern

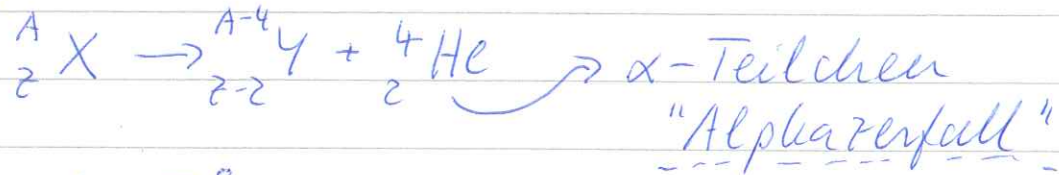


100 keV - 10 MeV \rightarrow "Gammaspektroskopie"

- Kerne mit zuvielen Protonen oder Neutronen:



- Kerne mit zu vielen Nukleonen (Protonen und Neutronen):



- aber auch $\pi^0 \rightarrow \gamma + \gamma$
 \hookrightarrow neutrales Pion



die meisten uns bekannten Teilchen zerfallen
spontane Übergänge, also ohne Einwirkung von außen

Zerfallsrate gegeben durch $\frac{dN(t)}{dt} = -\lambda N(t)$

Rate bestimmt durch die Zerfallskonstante λ

Dimension: inverse Zeit [s^{-1}]

durch Integration $N(t) = N(0) \exp(-\lambda t)$
 N zu Zeit t C zu Zeit t=0

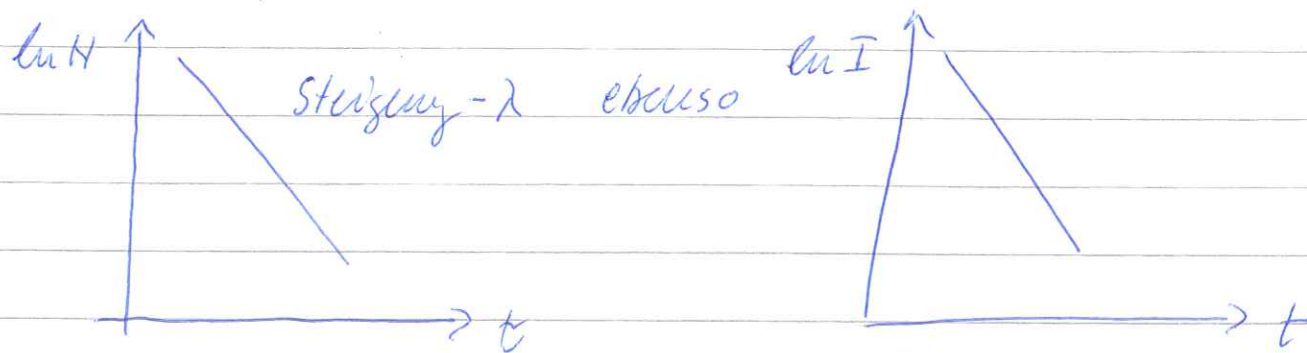
Lebensdauer $\tau = 1/\lambda$ in Zeit τ fällt Anzahl
 auf $1/e$ der ursprünglichen Anzahl
 $t_{1/2} = \tau \ln 2$ Halbwertszeit: Zeit, in der Anzahl
 auf die Hälfte zerfällt
 nach $2t_{1/2} \rightarrow 1/4$ etc.

Plot zeigt von $N(t)$ über die Zerfallsintensität

$$I(t) = -\frac{dN}{dt} = \underbrace{N(0)}_{I(0)} \lambda \exp(-\lambda t)$$

- sieht aus wie Lambert-Beer'sches Gesetz für Anzahl von Photonen nach Durchqueren von Schichtdicke x : $I(x) = I(0) \exp(-\mu x)$
 \hookrightarrow Abs.Koeff.

- Zerfall ist ein statistischer Prozess, τ bezieht sich auf die mittlere Zeit, bis Zerfall passiert ebenso wie μ sich auf die mittlere Distanz bezieht, nach der Photon absorbiert wird.



Wahrscheinlichste Zeit für Zerfall ist $t=0$
 (Wahrscheinlichste Distanz für Photonabsorption ist bei Distanz $x=0$), dann exponentieller Abfall

Wahrscheinlichkeit in einem bestimmten Zeitintervall n Ereignisse zu beobachten, charakterisiert durch Poissonverteilung

$$P(n, \bar{n}) = \frac{\bar{n}^n e^{-\bar{n}}}{n!}$$

\bar{n} : mittlere Anzahl von Ereignissen in Zeitintervall

$$\sum_n P(n, \bar{n}) = 1$$

charakteristisch für Poissonverteilung:

Standardabweichung $\sigma = \sqrt{\bar{n}}$ charakteristische Schwankung der Anzahl Ereignisse in einem Zeitintervall

2.2 Fermi's Goldene Regel und Phasenraum

Berechnung der Übergangsrate von Zustand α nach Zustand β basierend auf Stoßwellentheorie (siehe auch PTP4). Voraussetzung: WW, die für Übergang zuständig ist, ist schwach

$H = H_0 + H_{\text{int}}$, so daß α und β in Basis von $\underbrace{\text{klein}}_{\text{Eigenfunktionen von } H_0}$ expandiert werden können. Rate $\propto \text{zum } |\beta\rangle$

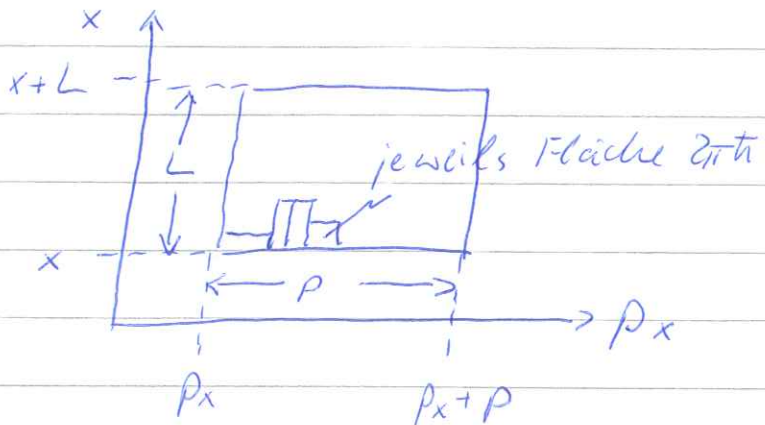
$$W_{\alpha\beta} = \frac{dP}{dt} = \frac{2\pi}{\hbar} \left| \underbrace{\langle \psi_\beta | H_{\text{int}} | \psi_\alpha \rangle}_{\text{Matrixelement von } H_{\text{int}}} \right|^2 g(E) \quad \begin{array}{l} \text{Matrixelement von } H_{\text{int}} \\ \text{Zustandsdichte im Endzustand} \end{array}$$

"Fermi's Goldene Regel" (erfunden von Dirac)
von Fermi in seinem Lehrbuch 1950 als "Zur Goldenen Regel" 1927
genannt

$g(E)$: Anzahl von Endzuständen pro Energieintervall
Kehrwert von $W_{\alpha\beta}$ gibt Lebensdauer, wenn nicht noch Übergänge in weiteren Zustände möglich sind.

im 6-dimensionalen Phaserraum (x, y, z, p_x, p_y, p_z) werden wegen Ausdehnungsrelation Pauli durch kleine Volumina $\hbar^3 = (2\pi\hbar)^3$ ersetzt

- in 1 Dimension: für Positionen zwischen x und $x+L$ und Impulse zwischen p_x und $p_x + p$ kann die Fläche Lp mit $N = Lp / (2\pi\hbar)$ Zuständen gefüllt werden



$$\text{dann wird } g(E) = \frac{dN}{dE} = 2 \frac{dN}{dp} \frac{dp}{dE} = \frac{L}{2\pi\hbar} \sqrt{\frac{m}{2E}} = \frac{L}{2\pi\hbar c} \sqrt{\frac{mc^2}{E}}$$

\hookrightarrow für jedes E nicht relativistisch
zentrale Zustände mit p und $-p$

- in 3 Dimensionen: $N = \frac{1}{(2\pi\hbar)^3} \int d^3x \times d^3p = \frac{\sqrt{4\pi}}{(2\pi\hbar)^3} \int p^2 dp d\Omega$

$$\text{mit } E^2 = p^2 + (mc^2)^2 \Rightarrow N = \frac{\sqrt{4\pi}}{(2\pi\hbar)^3} \int p^2 \frac{E}{pc^2} dE \text{ und damit}$$

$g(E) = \frac{dN}{dE} = \frac{VEpc}{2\pi^2(\hbar c)^3}$	"Teilchenphaseräume"
---	----------------------

- 2 Teilchen in 3 Dimensionen: mit totalem Impuls $\vec{p} = \vec{p}_1 + \vec{p}_2$ (in cm-System: $p_i^2 = p_i^2$) und Energie $E = E_1 + E_2$, Anzahl von Zuständen wie für 1 Teilchen, aber Dichte unterschiedlich wegen Bedingung $E = E_1 + E_2 \approx$ für ein gegebenes E , ist E_2 festgelegt

$$\beta_2 = \frac{dN_2}{dE} = \frac{V}{(2\pi\hbar c)^3} \frac{E_1 E_2 \rho_c}{E_1 + E_2} (d\Omega,$$

zusätzlich: - am Ende fällt V immer wegen entsprechender Normierung der Wellenfunktionen heraus, - bei entarteten Zuständen mit Faktor $\sqrt{2}$ multiplizieren.

2.3. Reaktionsrate

- Rate von Erfolgen siehe oben; Erfolgs geschwindigkeit σ bzw λ durch Fermi's Golden Regel (wenn anwendbar)
- wenn Teilchen durch Kollision 'reagieren' z.B. Rutherfordstreuung (elastisch)

$$\alpha + A_n \rightarrow \alpha + A_n$$
 Streuung in Winkel ϑ
 Rate von Streueignissen gegeben durch
 - einfallenden Teilchen fluss N_b (b für 'beam')
 - Anzahl von Streuzentren pro Flächeneinheit N_t
 - Wirkungsquerschnitt σ Dim. Fläche (t für Target)

nach einer typischen Länge λ ('mittlere freie Weglänge') passiert Streuung

$$\lambda = \frac{1}{n \cdot \sigma} \quad \text{mit Dichte der Streuzentren } n \left(\frac{\text{Atome}}{\text{cm}^3} \right)$$

(dies vernachlässigt Bewegung der Streuzentren)

Wahrscheinlichkeit, daß einfallendes Teilchen gestreut wird $P = 1 - \exp(-x/\lambda)$ (ohne Koll., $N = N_0 \exp(-x/\lambda)$) für $x \ll \lambda$ ("dünnnes Target") Entwicklung der e-Funktion

$$P \approx x/\lambda = \sigma \cdot n \cdot x$$

Flächendichte von Streuzentren N_t

$$\text{Streurete } R \left[\frac{1}{s} \right] = N_b \left[\frac{1}{s} \right] \cdot N_t \left[\frac{1}{\text{cm}^2} \right] \cdot \sigma \left[\text{cm}^2 \right]$$

σ kann generell für alle möglichen Prozesse definiert werden: elastische o. inelastische Streuweg Absorption, Reaktion $A + B \rightarrow C + D + E \dots$

für verschiedene mögliche Prozesse: Wahrscheinlichkeiten addieren sich

$$\text{"totaler Wirkungsquerschnitt"} \sigma = \sigma_{\text{el}} + \sigma_{\text{inel}} + \dots$$

σ_t : partielle Wirkungsquerschnitte

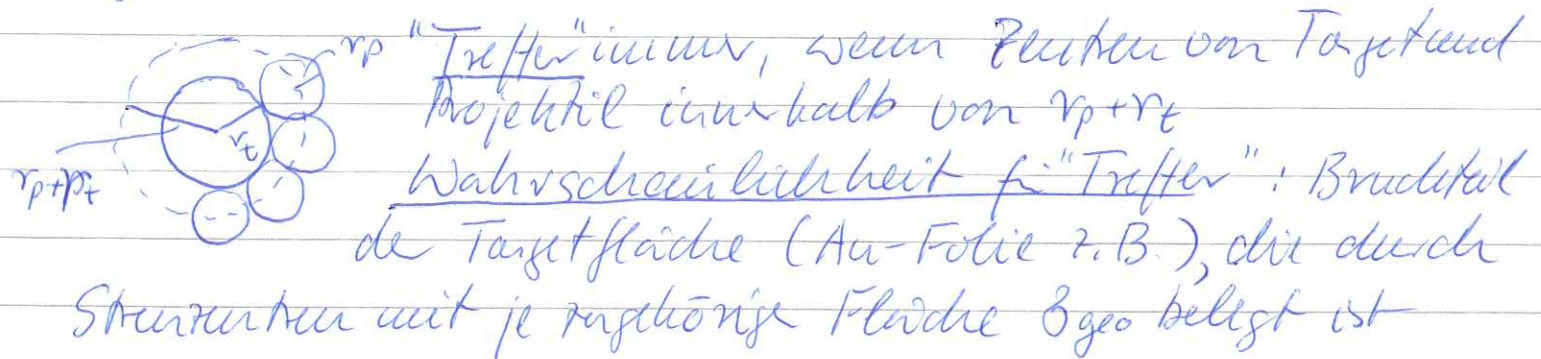
typischerweise ist Wirkungsquerschnitt winkelabhängig; beachte $d\sigma/d\Omega$ bzw $d\sigma/d\Omega^2$ und ebenso

differentialle Raten $\frac{dR}{d\Omega} = N_b N_t \frac{d\sigma}{d\Omega}$ bzw für inelastische

Prozesse doppelt differential $d\sigma/d\Omega dE$

- Skala für Wirkungsquerschnitt ist gegeben durch so genannten "geometrischen Wirkungsquerschnitt" besonders sinnvoll wenn Reichweite der Wirkung und Streupartikel endliche Ausdehnung Targetteilechen mit Radius r_t und Projektilradius r_p

$$\sigma_{\text{geo}} = \pi (r_p + r_t)^2$$



Beispiel: Proton-Proton Kollisionen am LHC:

$$r_p = 0.8 \text{ fm} \quad \sigma_{\text{geo}} = 1.6^2 \text{ fm}^2 \cdot \pi = 8 \text{ fm}^2 = 8 \text{ mb} \text{ mit Einheit barn für Wirkungsquerschnitt} \quad 1 \text{ b} = 10^{-24} \text{ cm}^2 = 100 \text{ fm}^2$$

- typischer totaler pp Wirkungsquerschnitt am LHC bei $E_{cm} = \sqrt{s} = 7 \text{ TeV}$ $\sigma_{tot} \approx 110 \text{ mb}$
inelastic $\sigma_{inel} \approx 60 \text{ mb}$ elastic $\sigma_{el} \approx 40 \text{ mb}$
single diffractive $\sigma_{diff} \approx 12 \text{ mb}$
relative schwache Energieabhängigkeit: $p=10 \text{ GeV}, \gamma=10.7$
fixed Target $\sqrt{s} = m_p c^2 \sqrt{2 + \gamma} \approx 4.54 \text{ GeV}$
 $\sigma_{tot} \approx 40 \text{ mb}$
d.h. Wahrscheinlichkeit für pp-WW ist von Größenordnung 'eins', wenn Protonen sich treffen
differential Wahrscheinlichkeiten, daß ein bestimmter Prozess passiert, ist viel kleiner. z.B. wird ein Higgs-Teilchen nur in 1 von $7 \cdot 10^9$ pp Koll. am LHC produziert. ($\sigma_{pp \rightarrow H} \approx 15 \text{ pb}$)

- für Atomkerne: $r_A \approx 1.2 \text{ für } A^{1/3}$ ← Massenzahl
Blei-Blei $\sigma_{geo} \approx 6.35 \text{ b}$

$$\text{also Reaktionsrate } R = \underbrace{N_b \cdot N_t}_{\text{nennt man Luminosität } L} \cdot \sigma$$

nennt man Luminosität $L \left[\frac{1}{\text{cm}^2 \cdot \text{s}} \right]$

2 mögliche experimentelle Konfigurationen

a) stationäres Target

z.B. flüssiger Wasserstoff, Dicke 1m $\sigma_{H_2} = 0.06 \frac{\text{g}}{\text{cm}^3}$
Flächendichte in Atomen/Molekülen pro Fläche einheit
 $N_t = \frac{\rho \cdot T \cdot N_A}{M}$ N_A Avogadrozahl $6.02 \cdot 10^{23} / \text{Mol}$
 M Atom oder Molekülge wicht 2 g/Mol
 $= \frac{0.06 \text{ g} \cdot 100 \text{ cm} \cdot 6.02 \cdot 10^{23} \text{ Mol}}{\text{cm}^3 \cdot \text{Mol} \cdot 2 \text{ g}} = 1.8 \cdot 10^{24} / \text{cm}^2$

typische Strahlintensität $N_b = 10^{12} / \text{s} \Rightarrow L = 1.8 \cdot 10^{36} / \text{cm}^2 \cdot \text{s}$
Annahme war hier: Querschnittsfläche Strahl < Fläche Target, Strahl trifft Target immer.

- typischer totaler pp Wirkungsquerschnitt am LHC bei $E_{cm} = \sqrt{s} = 7 \text{ TeV}$ $\sigma_{tot} \approx 110 \text{ mb}$
 inelastic $\sigma_{inel} \approx 60 \text{ mb}$ elastic $\sigma_{el} \approx 40 \text{ mb}$
 single diffractive $\sigma_{diff} \approx 12 \text{ mb}$
 relative schwache Energieabhängigkeit: $p=10 \text{ GeV}, \gamma=10.7$
 fixed Target $\sqrt{s} = m_p c^2 \sqrt{2 + \gamma} \approx 4.54 \text{ GeV}$
 $\sigma_{tot} \approx 40 \text{ mb}$
 d.h. Wahrscheinlichkeit für pp-WW ist von Größenordnung 'eins', wenn Protonen sich treffen
 differential Wahrscheinlichkeiten, daß ein bestimmter Prozess passiert, ist viel kleiner. z.B. wird ein Higgs-Teilchen nur in 1 von $7 \cdot 10^9$ pp Koll. am LHC produziert. ($\sigma_{pp \rightarrow H} \approx 15 \text{ pb}$)

- für Atomkerne: $r_A \approx 1.2 \text{ für } A^{1/3}$ $\xleftarrow{\text{Rassenzahl}}$
 $\bar{\text{Blei}} - \bar{\text{Blei}}$ $\sigma_{geo} \approx 6.35 \text{ b}$

also Reaktionsrate $R = N_b \cdot N_t \cdot \sigma$

nennt man Luminosität $\mathcal{L} \left[\frac{1}{\text{cm}^2 \cdot \text{s}} \right]$

2 mögliche experimentelle Konfigurationen

a) stationäres Target

z.B. flüssiger Wasserstoff, Dicke 1m $\sigma_{H_2} = 0.06 \frac{\text{g}}{\text{cm}^3}$
Flächendichte in Atomen/Molekülen pro Flächeneinheit
 $N_t = \frac{\rho \cdot F \cdot N_A}{M}$ N_A Avogadrozahl $6.02 \cdot 10^{23} / \text{Mol}$
 M Atom oder Molekülge wicht 2 g/Mol
 $= \frac{0.06 \text{ g} \cdot 100 \text{ cm} \cdot 6.02 \cdot 10^{23} / \text{Mol}}{\text{cm}^3 \cdot \text{Mol} \cdot 2 \text{ g}} = 1.8 \cdot 10^{24} / \text{cm}^2$

typische Strahlintensität $N_b = 10^{12} / \text{s} \Rightarrow \mathcal{L} = 1.8 \cdot 10^{36} / \text{cm}^2 \cdot \text{s}$
 Annahme war hier: Querschnittsfläche Strahl < Fläche Target, Strahl trifft Target immer.

pp-Wirkungsquerschnitt sei 40 nb (Beispiel oben)

$$\text{Rate } R = \frac{1.8 \cdot 10^{36}}{\text{cm}^2 \cdot \text{s}} \cdot 4 \cdot 10^{-26} \text{ cm}^{-2} = 7.2 \cdot 10^{10} / \text{s} \text{ nötig!}$$

$$\lambda = 13.9 \text{ m}$$

b) Kollidierende Strahlen

an einem 'Kollider' laufen in Bündel (bundles) mit je N Teilchen mit einer Frequenz f (Kurzlauffrequenz) im Kreis und liegen an bestimmten Punkten aufeinander. Die Querschnittsfläche des Strahls sei A

$$\lambda = f \cdot n \cdot \frac{N^2}{A} \quad \text{typischerweise viel kleiner als } f \cdot \text{start. Target, aber höhere cm-Energie}$$

Rekord LHC Large Hadron Collider am CERN
neues Regime

Fig. 2.1

$$2015 \left\{ \begin{array}{l} f = 11.245 \text{ kHz} \quad n = 1374 \text{ in } 2015 \quad N = 10^{11} \quad A \approx 3 \cdot 10^{-5} \text{ cm}^2 \\ \text{max. } \lambda = 5.13 \cdot 10^{33} / \text{cm}^2 \cdot \text{s} = 5.13 / \text{s} \cdot \text{nb} \quad (\hat{=} r = 31 \mu\text{m}) \end{array} \right.$$

$$\text{integrierte Luminosität } \lambda_{\text{int}} = \lambda L \cdot dt$$

2015 pp Kollisionen bei $\sqrt{s} = 13 \text{ TeV}$ $\lambda_{\text{int}} = 4.22 / \text{fb}$
bei mittlerer $\lambda = 3 / \text{s} \cdot \text{nb} \quad 1.4 \cdot 10^6 \text{ s}$ (eine Füllzeit
des Beschleunigers mit Strahl hält etwa 10 h)

für Prozess mit z.B. $\mathcal{S}_{\text{pp} \rightarrow \text{Higgs}} = 15 \text{ pb}$

$$\text{Anzahl Ereignisse pro Jahr } N_{\text{int}} = \lambda_{\text{int}} \cdot \mathcal{S} = \frac{4.22}{\text{fb}} \cdot 15 \text{ pb} \approx 6 \cdot 10^4$$

2.4 Feynman-Diagramme

Konzept der Wechselwirkung durch Austausch von Feldquanten ist Grundlage fieldtheoretischer Beschreibung der verschiedenen WW

Feldquanten: Quanten, die die WW vermitteln
Photon (γ) für ein WW

W^\pm, Z^0 -Bosonen für schwache WW

Gluonen g für starke WW

Pionen für Wechselwirkung zwischen Nukleonen

Konzept kann anschaulich durch sogenannte "Feynman-Diagramme" visualisiert werden.

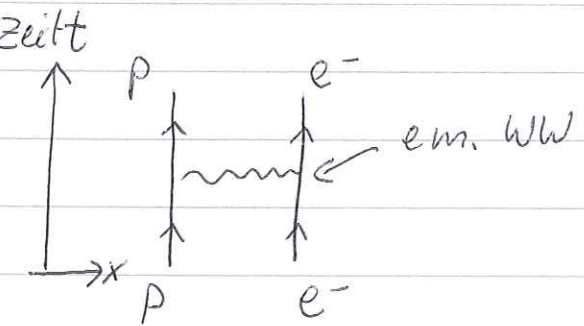
in 1940er Jahren von R.P. Feynman entwickelte elegante Methode, Übergänge und WW

- a) bildhaft eindeutig darzustellen
 - b) mit den Bildern sind in der QFT klare, mathematische Regeln verbunden, das Matrixelement für den dargestellten Prozess, bzw. den Wirkungsquerschnitt, zu berechnen
- in der PEP4 hauptsächlich a) verwendet

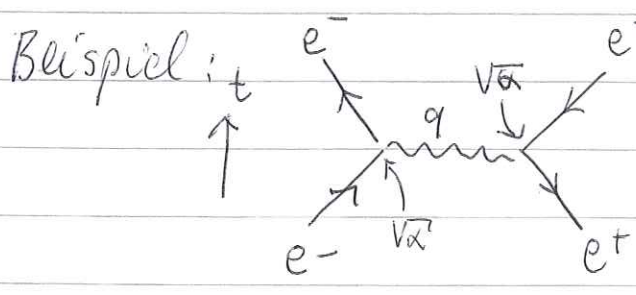
Beispiel: em. WW zwischen 2 geladenen Teilchen
Proton und Elektron

wie wird Bild erstellt:

- Zeitrichtung wird festgelegt entweder nach oben oft auch $\rightarrow t$ nach rechts
- "helle Teilchen" dargestellt als Stäbe in positive Zeitrichtung (von - unendlich nach $+ \infty$) $p^2 = E^2 - \vec{p}^2 = m^2 \therefore$ reell
- Antiteilchen: Stäbe in negativer Zeitrichtung
- Austauschteilchen sind Segmente (Linien, die im Diagramm beginnen und enden)
Keine Verteilung



- Ausgetauscht werden:
für die es nur WW Photonen, dargestellt als mm
" schwache WW W, Z-Bosonen " ----
" starke WW Gluonen " 888
aber auch andere Teilchen können ausgetauscht werden (siehe unten)
 - die Segmente repräsentieren virtuelle Teilchen
 $p^2 = E^2 - \vec{p}^2 + m^2$ für einblitzes Zeitraum in Raum oder Zeit möglich wegen Ausdehnung -
Lahm für kurzes Δt oder Δx
 $\Delta x \Delta p_x \geq \hbar/2 \quad \Delta E \Delta t \geq \hbar/2$
insbesondere für Photonen $p^2 \neq 0$
 - Punkte, an denen 3 oder mehr Linien zusammenkommen: "Vertex"
 - Vertex und angrenzende Linien beschreiben Absorption oder Emission eines Teilchens
 - an jedem Vertex gelten die Erhaltungssätze
 - jeder Vertex ist charakterisiert durch eine Kopplungskonstante, gegeben durch die AT der WW. z.B. $\alpha = \frac{e^2}{h c} = \frac{1}{137}$ für die elektromagnetische WW
 - Übergangswahrscheinlichkeit $\propto Vx^2$ für jeden Vertex
" Wahrscheinlichkeit $\propto \alpha$ "



Elektron und Positron werden durch
Austausch eines virtuellen
Photons

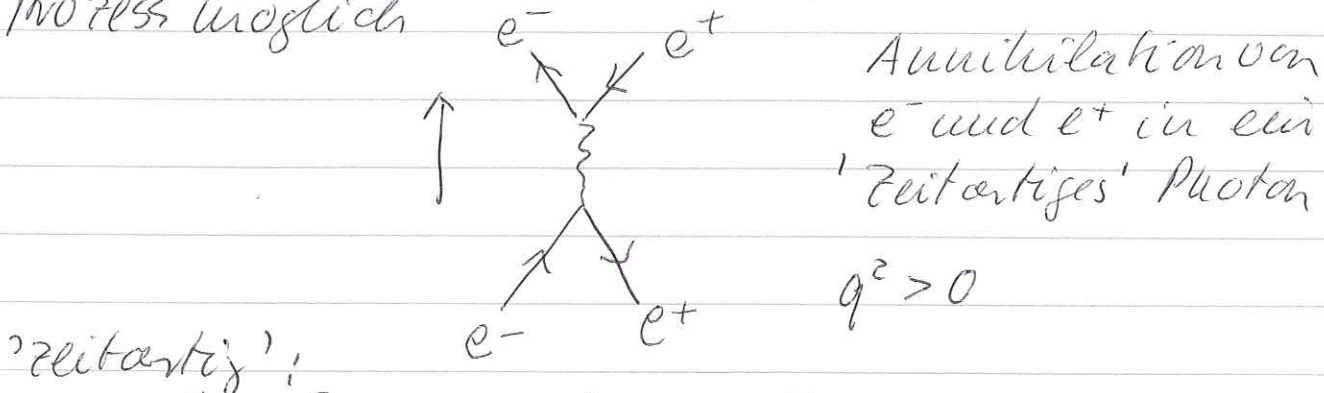
$$\langle \rangle \propto e^{\alpha} \propto \alpha$$

$$|\langle \rangle|^2 \propto e^{4\alpha} \propto \alpha^2$$

$q^2 < 0$ negativ \leftarrow räumartiges Intervall

'raumartig': man kann ein Bezugssystem finden, das sich mit $v < c$ bewegt und in dem die 2 Ereignisse gleichzeitig passieren, aber an verschiedenen Punkten im Raum

zwischen Elektron und Positron ist auch dieser Prozess möglich



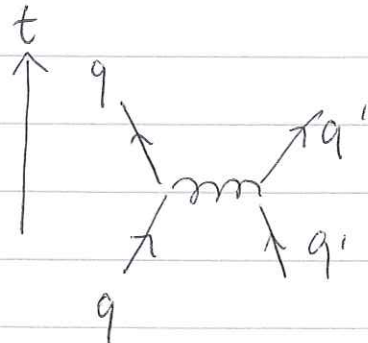
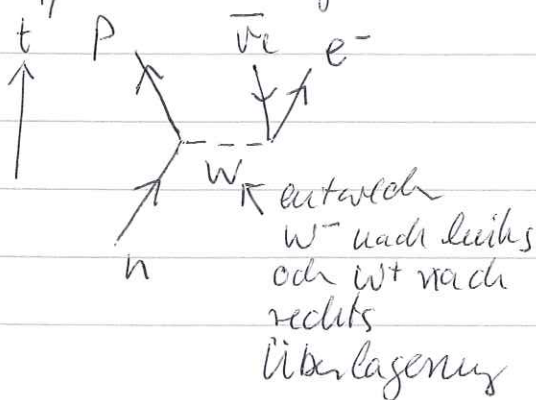
'zeitartig':

es gibt Bezugssysteme mit $v < c$ in denen die Ereignisse an selben Punkt im Raum passieren, aber immer zu verschiedenen Zeiten

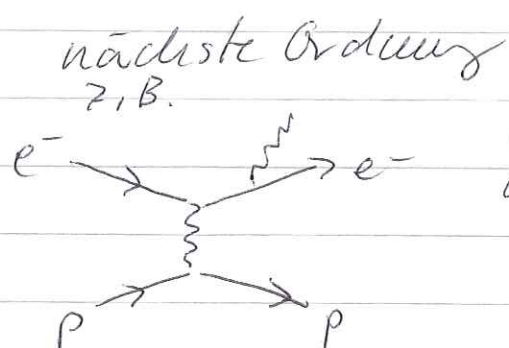
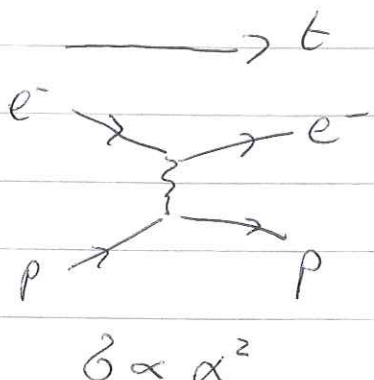
- Austauschteilchen hat kleine Vorzugsrichtung in Berechnung von Koeffizienten wird es durch sogenannten 'Propagator' beschrieben für ein WW $\frac{1}{q^2}$ (für Bosonen) \hookrightarrow 4er Propagatorkugel

→ für $e^- e^+$ Wechselwirkung oben $\delta \propto \frac{\alpha^2}{q^4}$

typische Diagramme für schwache und starke WW



bisher betrachtet "führende Ordnung"



next-to-leading
order (NLO)

$\delta \propto \alpha^3$

und next-to-next-to-leading order (NNLO)

